



ESCOLA POLITÉCNICA DA UNIVERSIDADE DE SÃO PAULO
Departamento de Engenharia Química

LEC - Laboratório de Eletroquímica e Corrosão

**PQI 5760 Corrosão na Indústria Química:
Mecanismos e Prevenção**

7a. Aula – Corrosão Intergranular

Ministrado por: Idalina Vieira Aoki

CORROSÃO INTERGRANULAR

Como o próprio nome sugere, a corrosão intergranular se caracteriza pelo **ataque preferencial** na região do **contorno do grão de uma liga**

De uma maneira geral, somente as ligas metálicas estão sujeitas a este tipo de corrosão e a sua causa é normalmente atribuída às precipitações de alguns dos componentes de liga ou compostos intermetálicos preferencialmente nos contornos de grão.

Os materiais mais susceptíveis a este tipo de ataque são os **aços inoxidáveis** e as **ligas de alumínio**. Para os aços inoxidáveis a sensitização ocorre devido a precipitação de carbeto de cromo Cr_{23}C_6 que causam empobrecimento em cromo nas regiões dos contornos de grão.



Intergranular Corrosion

Corrosion along grain boundaries because of difference in composition

Sensitization - depletion of Cr near GB in stainless steel because of Cr carbide precipitation.

Sensitization can occur near welds in stainless steel.

19KV 1.11KX 10U 0010.P/M434LI

Tabela 6.1 – Ocorrência de Corrosão Intergranular

<u>LIGA</u>	<u>Precipitado</u>	<u>Característica Do Precipitado</u>	<u>Corrosão Intergranular</u>
Aços Inoxidáveis Austeníticos	Cr_{23}C_6	Catódica	Sim
Aços Inoxidáveis Feníticos	Carbetos e Nitretos de Cr	Catódica	Sim
6xxxAl-Mg-Si	Mg_2Si	Neutra	Não
3xxx Al-Mn	MnAl_6	Neutra	Não
5xxx Al-Mg	Mg_5Al_8	Anódica	Sim
7xxxAl-Zn-Mg	MgZn_2	Anódica	Sim
2xxxAl-Cu	CuAl_2	Catódica	Sim
7xxxAl-Zn-Mg-Cu	CuAl_2	Catódica	Sim
1xxxAl-Fe	Al_3Fe	Catódica	Não
4xxxAl-Si	Si	Catódica	Não
Zn-Al	fase α e fase β (rica em Al)	Anódica	Sim
Zn-Al-Mg	Fase α	---	Não
Ni	Segregação de C	Catódica	Sim
Ni-Fe-Cr	Cr_{23}C_6	Catódica	Sim
Ni-Cr-Mo	fases ricas em Mo e Cr	Catódica	---

CORROSÃO INTERGRANULAR

SENSITIZAÇÃO

A corrosão intergranular de aços **inoxidáveis** deve ser considerada quando estes passam por tratamento térmico entre 400 e 900°C causando a **sensitização** destes, ou seja, provocando a **precipitação dos carbetos de cromo** nos contornos dos grãos. A intensidade de sensitização vai depender do tempo, temperatura e teor de C presente no aço.

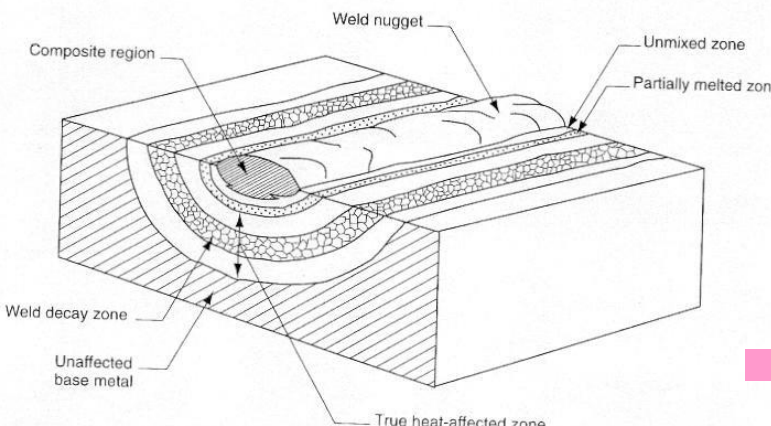
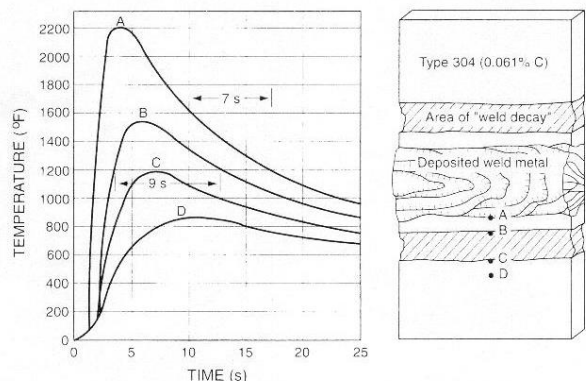
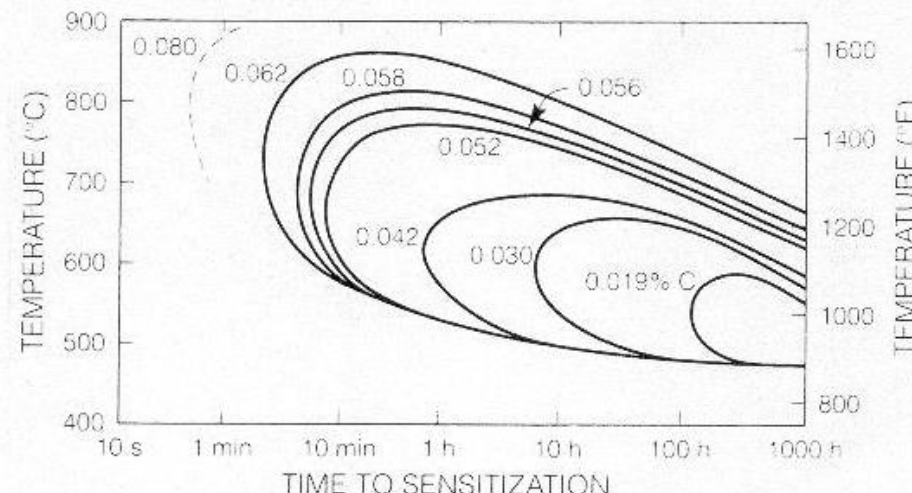


FIGURE 9.17 Schematic weldment structure. (From W. F. Savage, *Welding Design and Engineering*, Dec. 1969.)



RE 9.3 Sensitization diagram for 18Cr-8Ni stainless steel of varying carbon content. (From R. M. Davison, T. DeBold, and M. J. Johnson, *Metals Handbook*, Vol. 2, 'Corrosion', 9th ed., p. 547, 1987. Reprinted by permission, ASM International.)

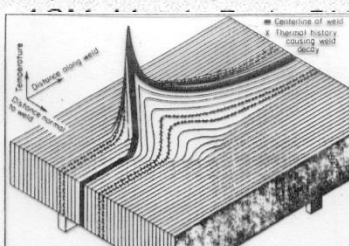


Fig. 3-28. Tablecloth analogy of heat flow and temperatures during welding. Visualize a mountainlike block being moved beneath an elastic striped tablecloth. The rise and fall of each stripe represents the rise and fall of temperature in a welded plate. (DuPont Company.)

SENSITIZAÇÃO

Emprobrecimento em cromo nas regiões próximas aos carbonetos precipitados – difusão de cromo e formação de C_6Cr_{23} nos contornos de grão. **Ataque nos contornos de grãos**

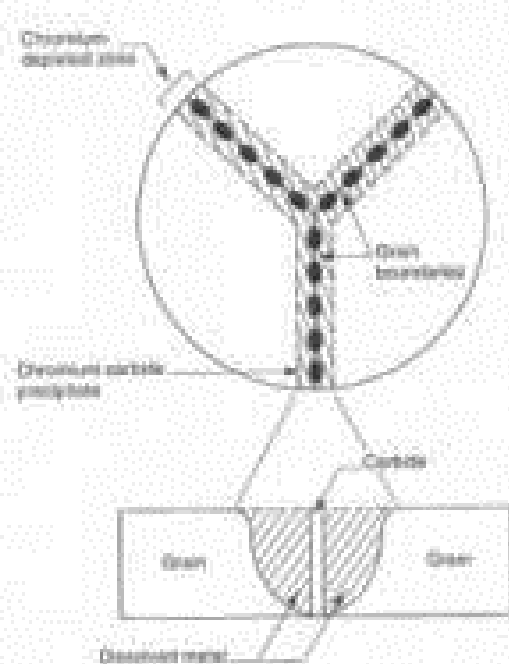


FIGURE 8.1 Schematic representation of carbide precipitation at a grain boundary during sensitization to intergranular corrosion in stainless steel.

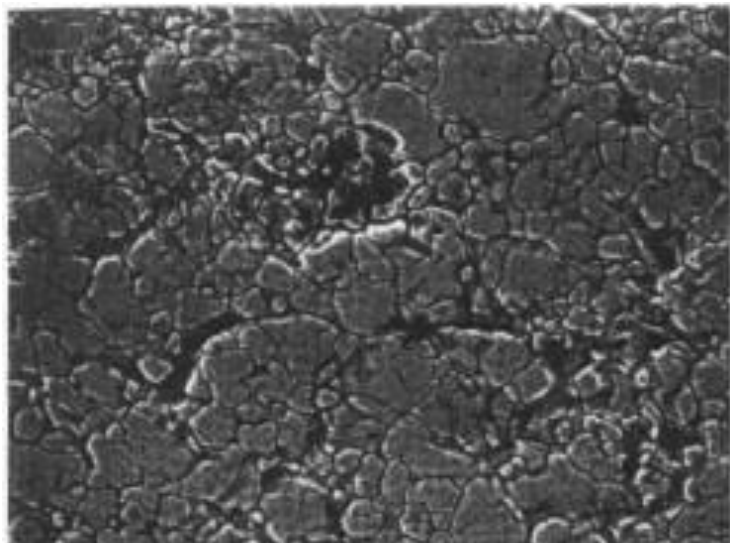
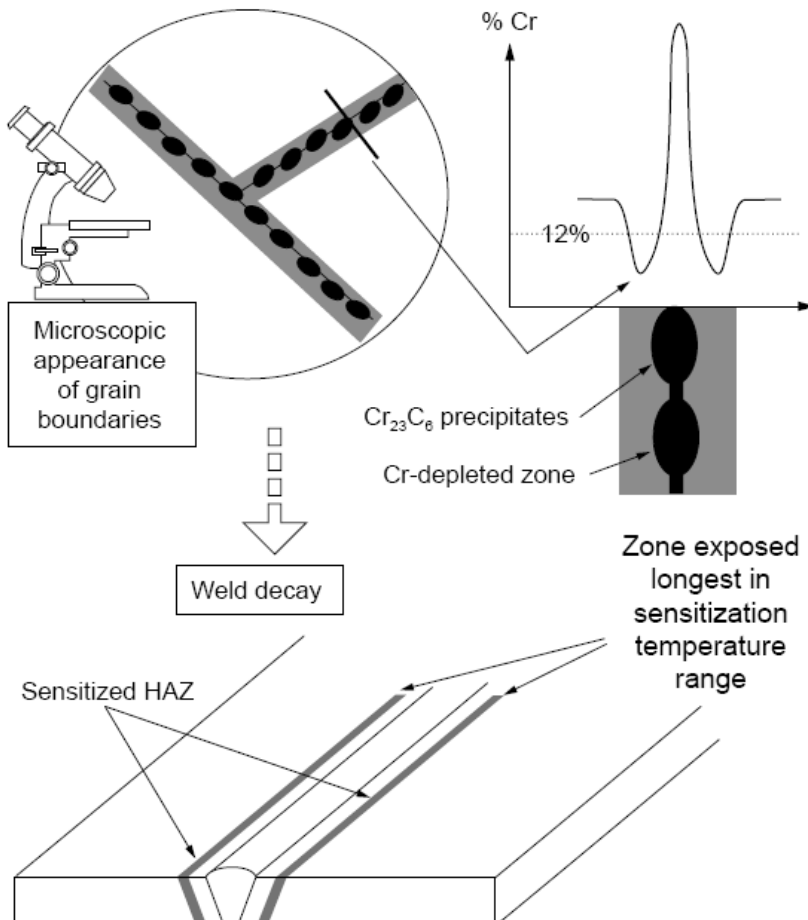


FIGURE 1.13 Intergranular corrosion of a sensitized austenitic stainless steel surface viewed by scanning electron microscopy.

Sensitização - durante a soldagem

A corrosão intergranular de aços inoxidáveis deve ser considerada quando estes passam por tratamento térmico entre 400 e 900°C causando a sensitização destes, ou seja, provocando a precipitação dos carbetos de cromo nos contornos dos grãos. A intensidade de sensitização vai depender do tempo, temperatura e teor de C presente no aço.



Solda a arco, por fusão

Corrosão em torno de cordão de solda

Solda a arco – processo por fusão

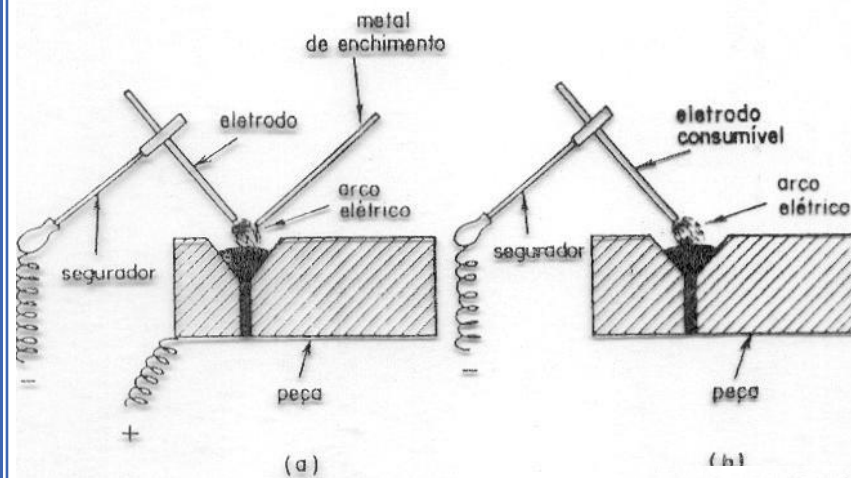
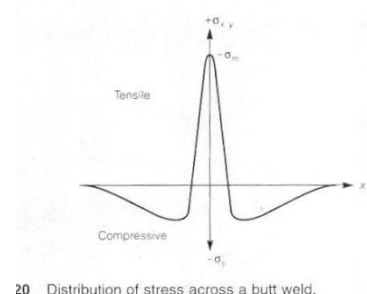
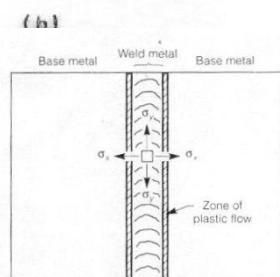


Figura 217 – Representação da soldagem a arco com "eletrodo fixo" (a) e com "eletrodo consumível" (b)

2.3 Schematic diagram of typical weld defects.

3 Filler Alloys for Stainless Steels^a

Base Metal Alloy	Filler Alloy
301, 302, 304, 308	308
302B	309
304L	308L, 347
309, 309S	309
310, 310S	310
316	316
316L	318, 316L
318, 316Cb	318
321	347
347	347
348	347
405	405Cb, 430
405, 430	308, 309, 310
446	308, 446



2.0 Distribution of stress across a butt weld.

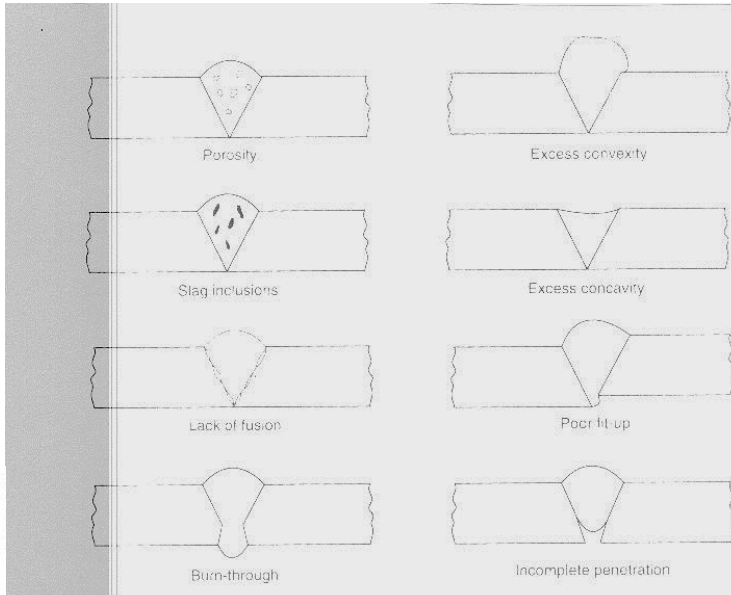


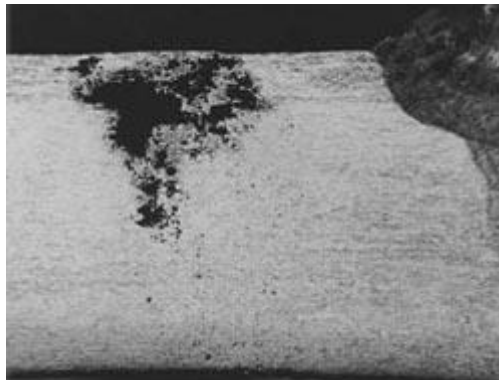
FIGURE 9.23 Schematic diagram of typical weld defects.

Trincas
e pites
em torno
de solda



Corrosão em torno de cordão de solda

Aços inoxidáveis – dano ocorre a 6-10 mm do cordão de solda



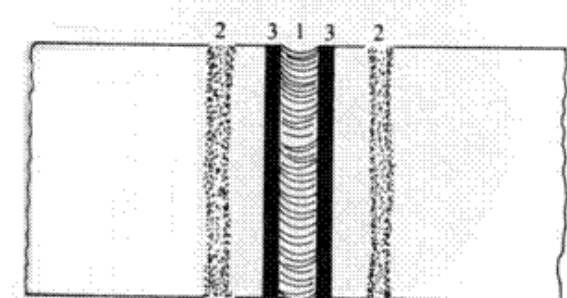
Corrosão intergranular
próxima à solda de aço
304



Pites próximos
à solda - aço
304 barco
AMB



Pites próximos à solda



1 — Cordão de solda
2 — Corrosão em torno de solda
3 — Corrosão em faca



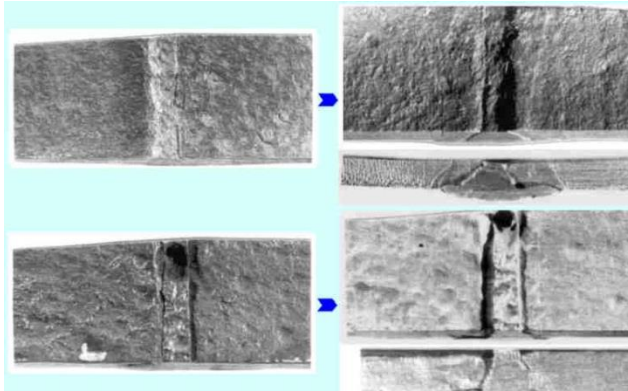
Corrosão em fresta próximo à solda
em aço inox 304

Corrosão em torno de cordão de solda

Como prevenir ou recuperar peça sensitizada

- Submeter o material soldado a um tratamento térmico para solubilização do carbeto de cromo precipitado (1050°C)
- Utilizar aços inoxidáveis contendo Niobio (AISI-347) ou Titânio (AISI-321). Estes elementos formam carbonetos mais estáveis que os de Cromo, evitando assim a precipitação destes.
- Diminuir o teor de carbono abaixo do valor crítico $0,03\%\text{C}$. Aços com teores abaixo desse valor crítico são classificados como aço de carbono extra baixo e recebem designação L (AISI-304-L e AISI-316-L).

Tubo aço carbono soldado – defeitos na solda – CO_2 petróleo



Corrosão em faca

É uma faixa de corrosão intergranular ao longo do material metálico e adjacente a zona de fusão – rente ao cordão de solda

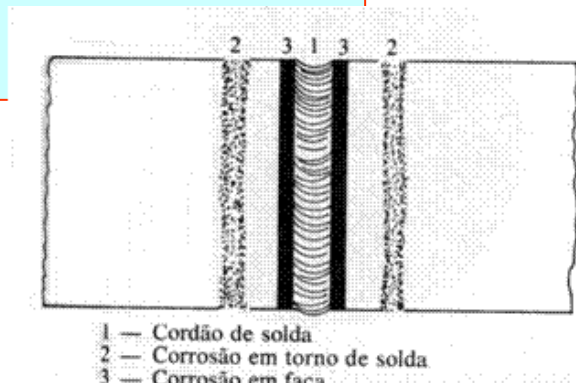
Pode ocorrer após soldagem do aço inoxidável austenítico
estabilizado com titânio ou nióbio

O mecanismo de corrosão em faca é baseado na solubilidade, em alta temperatura dos **carbetos de titânio ou nióbio**, em aço inoxidável. Quando as chapas são finas, não há material para escoar calor e se atingem temperaturas elevadas dissolvendo os carbonetos do estabilizador; pelo fato das chapas serem finas, se tem o resfriamento rápido (chapas finas) esses carbeto não tem tempo para precipitar e quando a temperatura atingir a faixa de sensitização, precipitam os carbeto de cromo, ficando então o aço sensitizado

Para evitar

Evitar usar chapas finas desses aços estabilizados.

Aquecer o material após soldagem em torno de 1065°C a fim de que haja solubilização dos carbeto de Cr e precipitação dos carbeto de Nb e Ti.



Corrosão intergranular

Ensaios para detectar sensitização da liga

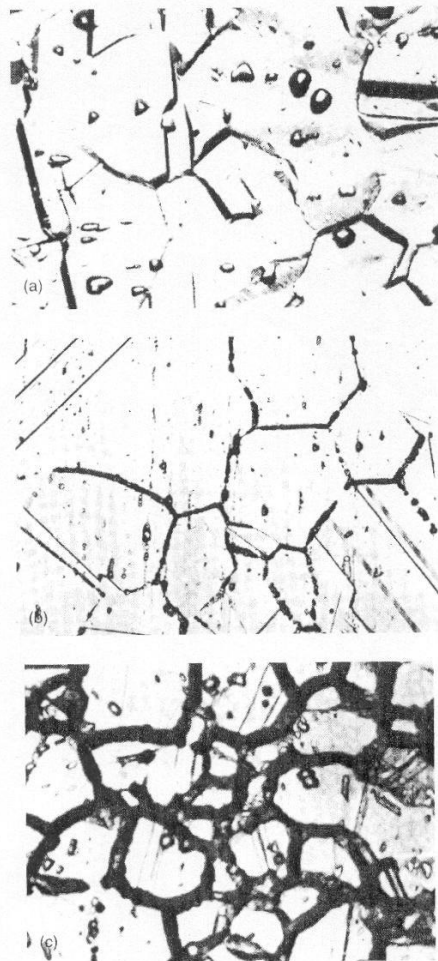
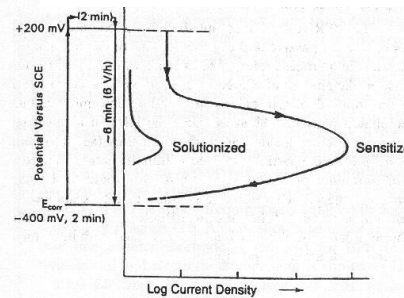


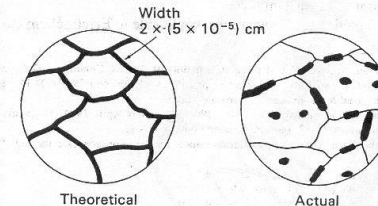
FIGURE 9.6 Oxalic etch structure on Type 304 stainless steel: (a) step; (b) dual; (c) ditch. (From ASTM Standard Practice A262, Annual Book of ASTM Standards, Vol. 3.02, p. 4, 15)

ASTM 262 Pratica A

ASTM G108 SL-EPR Single Loop Electrochemical Potentiokinetic Reactivation Test



CONTINUE THE CYCLE OF FIGURE G 9 WITH THE FOLLOWING REQUIREMENTS: THE POTENTIOSTAT SHALL CONTROL THE POTENTIAL WITHIN ± 200 mV OF THE CORROSION POTENTIAL FOR 2 MINUTES.



NOTE 1—The calculation of P_a is based on the assumptions illustrated at left. Mild cases of sensitization usually result in a combination intergranular attack and pitting as illustrated at right (7).

FIG. 2 Schematic Microstructures After EPR Testing

$Pa = Q/\text{GrainBoundary Area}$

$Pa < 2$ bom

$Pa 2-5$ fracamente sensitizado

$Pa 5-15$ sensitizado

$Pa > 15$ muito sensitizado

Teste DL-EPR

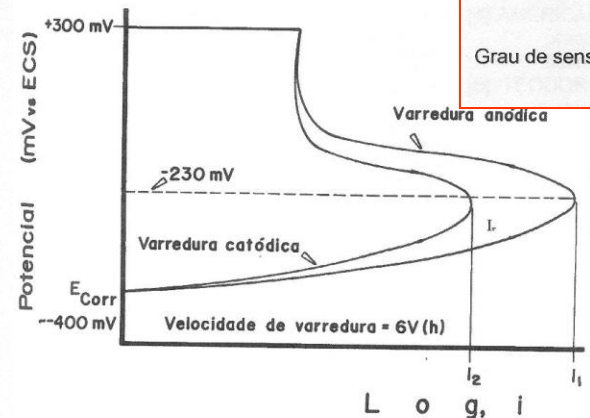
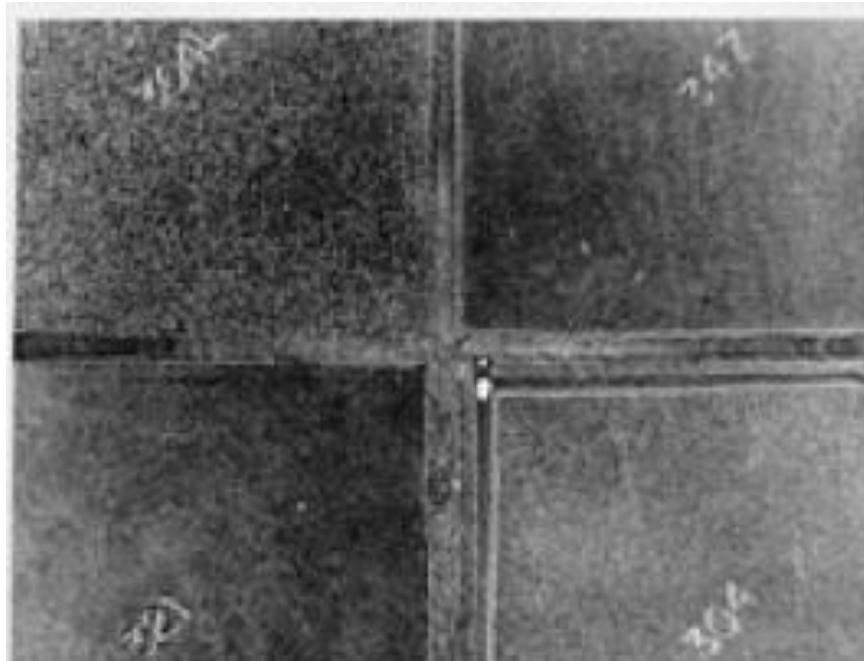


Figura 3- Diagrama esquemático do ensaio DL-EPR, para aços do tipo 304. [14]

Tem-se utilizado nos ensaios a solução 0,50 M H_2SO_4 + 0,001M KSCN a 30°C como eletrólito e o valor de 6 V/h como velocidade de varrimento.[13]

Corrosão intergranular

Ensaios para detectar sensitização da liga

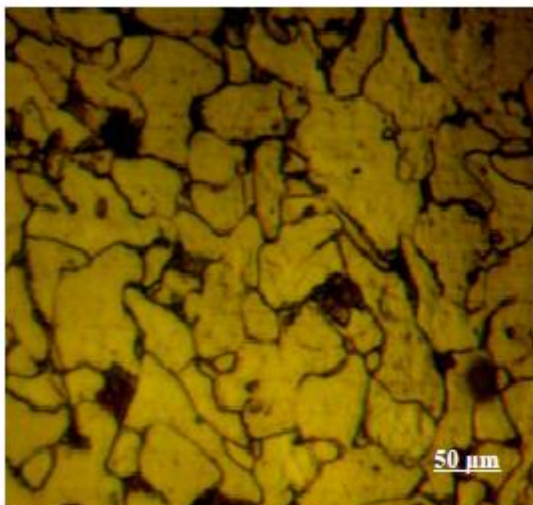


Quatro chapas de aço inox foram soldadas e colocadas em meio de HNO_3/HF e verificou-se corrosão em torno do cordão de solda apenas do aço 304 (inferior direita). O aço 304 com menos carbono, ou seja, 304L, resistiu (superior esquerda). Os aços estabilizados ao Ti - 321(inferior esquerda) e o estabilizado ao Nb , 347 (superior direita) também resistiram.

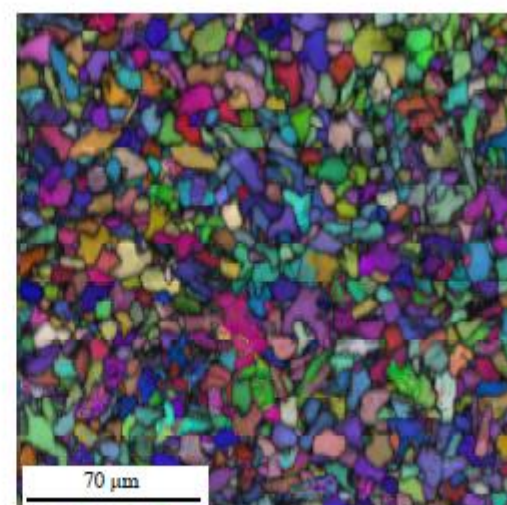


Metal de solda

Metal Base



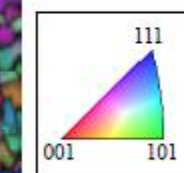
13



Idalina Vieira Aoki

07/11/2023

Estrutura do
metal base



{hkl}

Estrutura do metal base próximo ao metal de solda (4mm do cordão do solda)

